J.-M Friedt

biocapteu

Le capteu

Mesure et instrumentation

Microfluidique

acousti

Mesure

acoustique/sond

Plasmons à  $\lambda$  variable

Conclusion:

## Mesure des propriétés physiques de couches minces biologiques et chimiques

J.-M Friedt (L. Francis, K.-H. Choi, F. Frederix, Z. Cheng, K. Bonroy, W. Laureyn, G. Reekmans, C. Bartic, A. Campitelli, G. Borghs)

24 mai 2005



Définition d'un biocapteur

Mesure et

Microfluidiq

Combinaiso

Mesure

Combinaison acoustique/sono

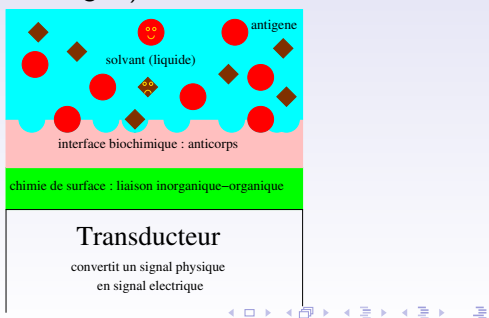
Plasmons à  $\lambda$ 

Conclusion



#### Le biocapteur

- traduit un signal chimique en signal physique
- nécessite pour cela un capteur (plasmon, miroir resonant, QCM, SAW, microlevier, AFM, électrochimie si enzyme ...): sensibilité
- et des couches chimique (liaison inorganique-organique : thiols, silanes, dendrimères ...) et biologique (anticorps attaché par liaison électrostatique, hydrophobe, covalente ...) : sélectivité
- une instrumentation appropriée (microfluidique, mesure du signal à analyser et traitement du signal)





J.-M Friedt

éfinition d'un

Le capteur

instrumentatio

iviicrofiuidiqi

Combinaison

N.4-----

. ..

acoustique/sond locale

Plasmons à 2 variable

Conclusi

#### La physique du capteur

Solutions commerciales (basées sur des technologies simples à mettre en œuvre) :

- plasmons de surface (≫ellipsométrie) : Biacore, Ibis & Autolab, TI Spreeta
- ellipsométrie en milieu liquide, miroir résonant (IAsys)
- acoustique : Maxtek, QSense (microbalance à quartz)

QCM (
$$c$$
=constant) SAW device ( $\lambda$ =constant)  $\uparrow$   $k$ 

$$\begin{array}{c} \mathsf{QCM}: \Delta m \to \Delta \lambda \to \Delta f \\ \mathsf{SAW}: \Delta m \to \Delta c \to \Delta \Phi \to \Delta f \end{array} \right\} \text{ n'inclut que effets de masse} \\ \text{(viscosité?)} \end{array}$$

E. Gizeli, and C.R. Lowe (Ed), Biomolecular Sensors Taylor & Francis, London (2002)

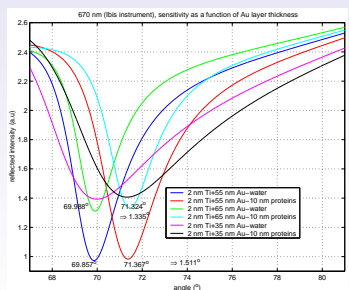
I\_M Friedt

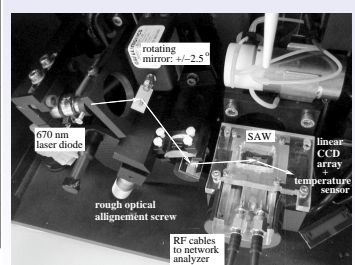
Le capteur



#### Plasmons de surface (SPR)

- Génération d'une onde électromagnétique évanescente sur un fin film métallique déposé sur un diélectrique (Kretschmann)
- nécessité de coupler l'onde incidente à l'angle plasmon (> Brewster ⇒ prisme/réseau)
- observation de la réflectivité en fonction de l'angle (balayage/barette CCD)
- l'angle de couplage varie ( $\simeq 100 \text{m}^o \text{-} 1^o$ ) avec la présence d'une couche diélectrique sur la surface sensible (protéines, polymère, ...)







#### Onde de Love (SAW)

J.-M Friedt

Onde acoustique guidée (SiO2, parylene, PMMA, SU8 ...)

• Électrodes isolées par la couche guidante

Onde transverse peu sensible aux interactions visqueuses (-3 dB avec l'eau)

Coefficient thermique modeste

biocapteur

Le capteur

instrumentati

Microfluidiqu

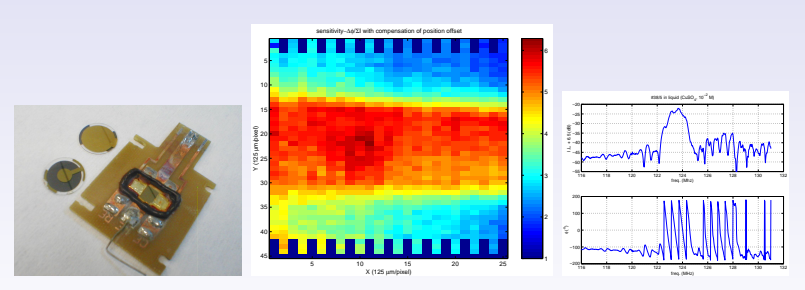
Combinaiso

Mesur

Combinaison acoustique/sono

Plasmons à  $\lambda$  variable

Conclusi



A. C. Hillier, and M. D. Ward, Scanning electrochemical mass sensitivity mapping of the quartz crystal microbalance in liquid media,



### Onde de Love (SAW)

J.-M Friedt

 Onde de Love : onde de cisaillement (SSBW) guidée dans une couche fine

biocapteur

 La célérité de l'onde varie en fonction de l'épaisseur de la couche guidante ⇒ la sensibilité aussi (comme gradient de la vitesse de groupe)

-400

-450

-500<u>-</u>

Le capteur

SiO, thickness (µm)

-50 -100 -100 (B -150 -200 -250 -250 -350 -350

> 8 10 SiO<sub>2</sub> thickness (μm)

Mass sensitivity for SiO\_/Quartz (0th order mode)

Microfluidia

Combinaisor

Mesure

iviesure

acoustique/sono

Plasmons à variable

Conclus

Vitesses : modèle en ligne de transmission (L densité, 1/C rigidité)  $S = \frac{1}{\rho h} \times \frac{v_g - v}{v}$  (modèle d'interaction rigide)

2500

2000

1500

1000



#### Méthodes de mesure

#### J.-M Friedt

biocapte

Mesure et

instrumentation

iviicroitulaiqu

Compinaisc

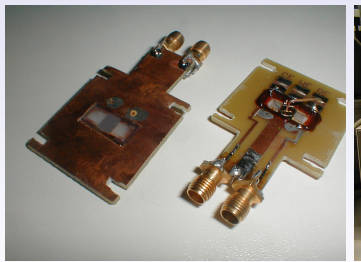
Mesur

Combinaison acoustique/sono

Plasmons à 2

Conclusion

- Informations acquises : variation de fréquence, pertes d'insertion
- Méthode : analyseur de réseau à fréquence donnée, mesure dans une portion où la relation phase-fréquence est linéaire (problème de la boucle fermée : AGC pour avoir l'amplitude).
- Résolution temporelle :  $\simeq 1$  point/s





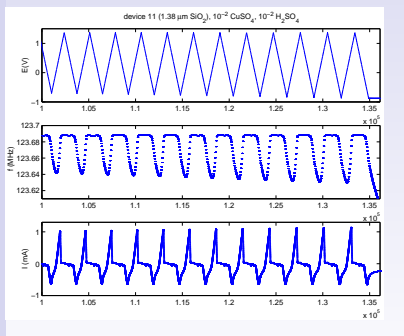
### I\_M Friedt

Mesure et instrumentation



### Électrodéposition (Cu)

- Cycles successifs de déposition et dissolution du cuivre sur électrode de travail (Au)
- Électrode de référence : fil de Cu (couple Cu/Cu<sup>2+</sup>)
- Contre-électrode : boucle de fil de Pt.



$$m_{Cu} = \frac{\sum I \times \delta t}{N \times e} \times \frac{M_{Cu}}{n_e}$$

$$N \times e = 96440 \text{ C}: 1 \text{ Faraday}$$
  
 $M_{Cu} = 63.5 \text{ g/mol}, n_e = 2$   
**mais**  $\Delta m = m_{Cu} + m_{fuite}$  avec

mais 
$$\Delta m = m_{Cu} + m_{fuite}$$
 aver  $m_{fuite} = \frac{I_{fuite}}{N \times e} \times \frac{M_{Cu}}{n_e}$ 

—→ temps (u.a.) Conclusion :  $S_{observ\acute{e}} = \frac{\Delta f}{f_0} \times \frac{A}{\Delta m} = S_{th} \times \frac{m_{Cu}}{m_{Cu} + m_{Furto}}$ 



### Sensibilité à la charge massique

J.-M Friedt

Définition d'ui

biocapteur

Mesure et instrumentation

Microfluidiqu

.....

C-----

opeique

Mesure

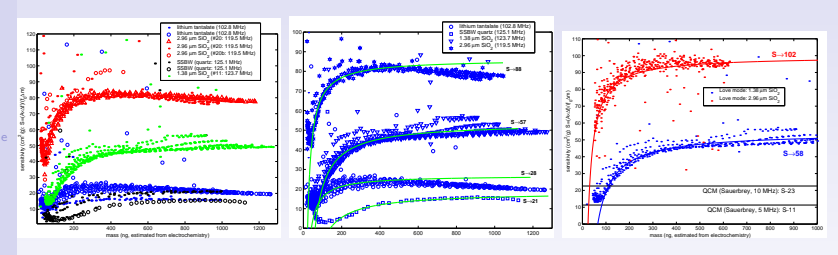
Combinaison acoustique/sono

Plasmons à

C . . .

La conversion de signal (phase/fréquence) en densité surfacique de masse est fondamentale.

$$S = \frac{\Delta f}{f_0} \times \frac{A}{\Delta m} \text{ cm}^2/\text{g}$$



Notre méthode de calibration : électrodéposition (mesure de la masse  $\Delta m$  par le courant circulant dans le potentiostat)

J.-M. Friedt, L. Francis, K.-H. Choi, and A. Campitelli, Combined Atomic Force Microscope and Acoustic Wave Devices : Application to

Electrodeposition, JVST A 21 (4), 1500- (July-Aug. 2003)





#### La fluidique

J.-M Friedt

Définition biocapteu

Mesure et

Microfluidique

optique

Mesure

acoustique/sono locale

Plasmons à  $\lambda$ 

Conclus

- Détermine la stabilité du signal et donc la limite de détection (cf Biacore et QSense)
- Notre approche : une microfluidique compatible avec le capteur (SU8), suivi d'une macrofluidique pour l'interface avec le monde (PDMS+plexiglas)
- Un capteur de masse est aussi sensible à la pression hydrostatique
   ⇒ niveau de liquide/pression constant
- objectif ultime : fonction de filtrage? (éliminer les cellules p.ex)









J.-M Friedt

J.-IVI I IIC

biocapteu

Mesure et

instrumentati

Microfluidique

acoustique-

C 1:

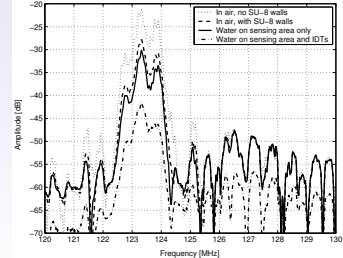
acoustique/sonde

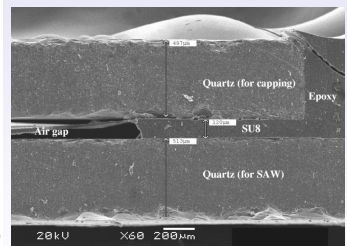
Plasmons à 2

Conclusi

## Importance de protéger les transducteurs

- Un mur de SU8 (120  $\mu$ m épaisseur, 50-100  $\mu$ m de largeur) sur le chemin acoustique protège les IDTs
- Collage d'une plaque de quartz (5  $\times$  5  $\text{mm}^2)$  sur le SU8 pour fermer la protection des IDTs
- La même epoxy couvre le bord des dispositifs pour protéger les fils de connexions et former une cuvette
- ⇒ effet de contamination sur la chimie de surface?





L. Francis, J.-M Friedt, C. Bartic, and A. Campitelli, A SU8 liquid cell for surface acoustic waves biosensors, SPIE Photonics Europe



## Comment différencier masse de viscosité?

J.-M Friedt

Definition d'i biocapteur

biocapteur

Mesure et

Microfluidique

wiicronulaiqu

optiqu

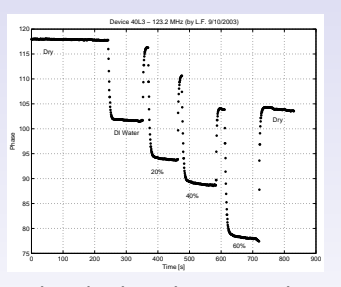
Mesure

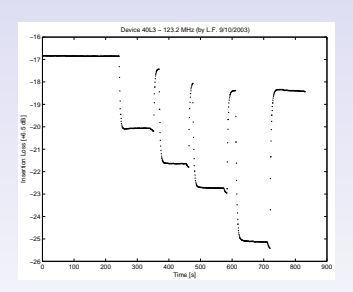
Combinaison acoustique/sono

Plasmons à 2

C---l---

Nous (au départ) : tout n'est que masse Saha & Gizeli : tout n'est que viscosité?!





Il faut plus de données pour séparer les deux paramètres ⇒ déterminer indépendamment l'épaisseur de la couche

K. Saha, F. Bender, A. Rasmusson, and E. Gizeli, Probing the Viscoelasticity and Mass of a Surface-Bound Protein Layer with an Acoustic Waveguide Device Langmuir 19 (4), 1304-1311 (2003)

J.-M Friedt

Définition d'u biocapteur

Mesure et

Microfluid

Combinaison acoustiqueoptique

Mesure

acoustique/sono locale

Plasmons à variable

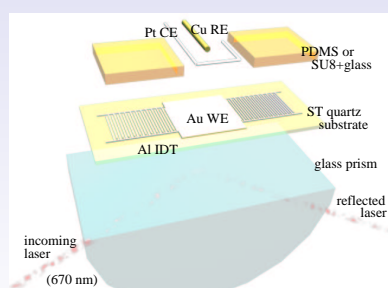
C . . .



#### Plasmon à longueur d'onde fixée

Principe : la région sensible du SAW est couverte de 10 nm Ti/55 nm Au ⇒ électrode de travail (électrochimie) ou à la masse (influence des ions du buffer)

- $\Rightarrow$  supporte un plasmon de surface
- $\Rightarrow$  le prisme + huile d'adaptation d'indice optique absorbe toute onde acoustique de volume et agit comme radiateur

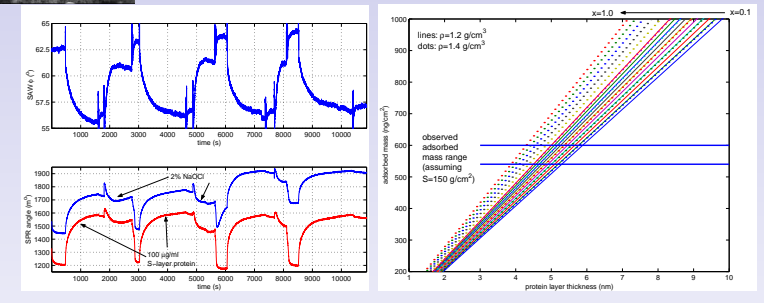




I\_M Friedt

Mesures





- mesure expérimentale de la sensibilité du capteur acoustique
- mesure de la phase (→ fréquence) SAW et angle plasmon pendant la réaction
- 3 tracer un abaque reliant ces signaux expérimentaux à l'épaisseur d et concentration de solvant x de la couche adsorbée
- 4 recherche l'unique couple (x, d) vérifiant les mesures expérimentales

J.-M Friedt, L. Francis, G. Reekmans, R. De Palma, A. Campitelli, and U.B. Sleytr, Simultaneous surface acoustic wave and surface plasmon resonance measurements: electrodeposition and biological interactions monitoring, J. Appl. Phys. 95 (4) 1677-1680 (15



#### SAW/SPR: fibrinogène

J.-M Friedt

Définition d'un

. .

instrumentation

Microfluid

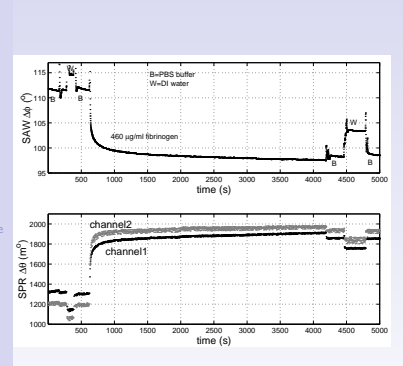
Combinaiso acoustique-

Mesures

acoustique/sonde

Plasmons à  $\lambda$  variable

Conclusio



```
460 \mug/ml : 650 mdeg, 1500 ng/cm<sup>2</sup>
        22.5
                2520
  .3
        19.8
                2218
        16.5
                1914
        14.7
                1705
  .5
        13.2
                1584
                        \leftarrow 50%±10%
  .5
        11.7
                1404
  .6
        11.0
                1364
  .6
                1215
        9.8
                1216
         9.5
         8.5
                1088
  .8
        8.4
                1109
  .8
         7.4
                977
  .9
        7.5
                1020
  .9
         6.7
                 911
 1.0
                 938
        6.7
 1.0
         6.1
                 854
```

#### J.-M Friedt

Définition biocapteur

Le capteu

Mesure et instrumentati

Microfluidiqu

....

Mesures

Combinaison acoustique/sond locale

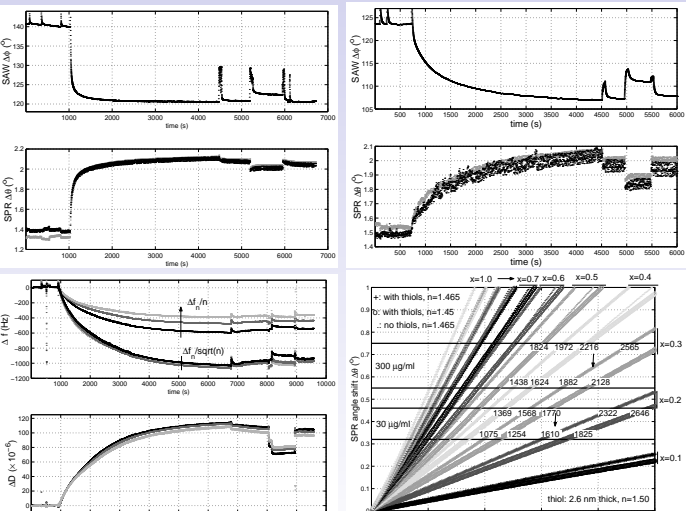
Plasmons à 2

Conclusion



### SAW/SPR : collagène

layer thickness (nm)



QCM : les variations de fréquence normalisées par  $\sqrt(n)$  se superposent

QCM : dissipation élevée

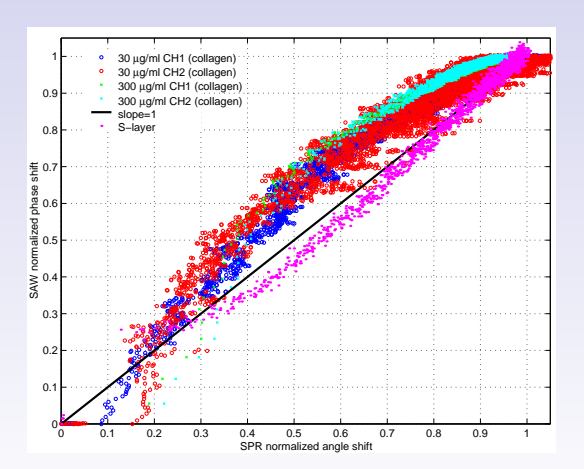
16 / 29



I\_M Friedt

Mesures





La relation des signaux SPR-SAW normalisés n'est pas la première bissectrice dans le cas du collagène! ◆□→ ◆圖→ ◆圖→ ◆圖→



I\_M Friedt

-

biocapteu

Le captei

Mesure et

WIICIOIIIII

. .. .

acoustiqueoptique

#### Mesures

acoustique/so locale

variable

Conclus

## Cas des différentes concentrations en solvants

- S-layer, IgG : comportement de masse rigidement liée (Sauerbrey)
- collagène : présente un comportement fortement visqueux
- fibrinogène : entre les deux ...

de	Analyte (bulk concentration, $\mu g/ml$ )	surface density (ng/cm <sup>2</sup> )	d (nm) SAW/SPR	x (%) SAW/SPR	$\Delta f_n / \sqrt{n}$ (Hz) QCM	$\Delta f_n/n$ (Hz) QCM	Δ <i>D</i> (×10 <sup>-6</sup> ) QCM
[	Си		2 - 12	?	?-1000	NO	50
ſ	S-layer	560±20	4.7 ± 0.7	75 ± 15	NO	45=900	3-5
ĺ	CTAB	135±15	$1.0 \pm 0.1$	100	NO	8=160	0.2-0.5
ſ	collagen (30 µg/ml)	1750±150	16.0 ± 3.0	25 ± 15	1000	NO	100
Ì	collagen (300µg/ml)	2100±200	19.0 ± 3.0	35 ± 10	1200	NO	>120
Ì	fibrinogen (46µg/ml)	750±100	$6.0 \pm 1.5$	50 ± 10	110±5	55±5≃ 1110	4-10
[	fibrinogen (460 $\mu$ g/ml)	1500±500	13.0 ± 2.0	50 ± 10	NO	100=1700	8-10



#### Exemple d'un polymère

J.-M Friedt

biocapteur

biocapteur

Mesure et

Microfluidia

. . . . . . . . .

Combinaiso

Mesures

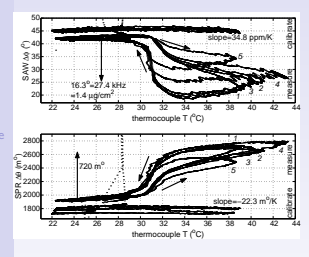
\_

acoustique/sond locale

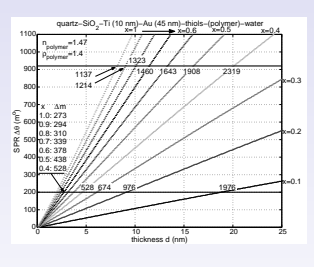
Plasmons à  $\lambda$  variable

Conclusio

Le pNIPAAM est un polymère qui change de conformation (hydrophobie) avec la température.









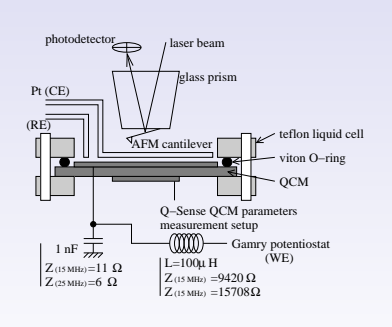
Acoustique/sonde locale

J.-M Friedt

Combinaison acoustique/sonde locale

**Objectif**: comparer une information globale (cm<sup>2</sup>), intégrée sur une large surface, et une information locale (morphologie/épaisseur de couche)

**Problème**: encombrement du levier de microscopie+support (prisme pour détection optique)













#### J.-M Friedt

Definition a l biocapteur

.

Mesure et

Combinaisor

Combinaison acoustique-

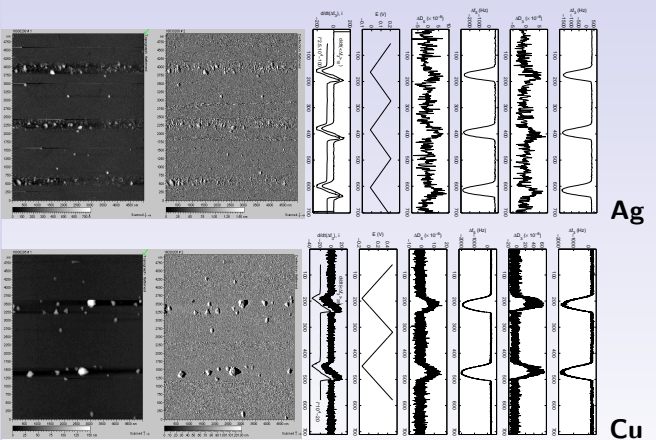
Mesur

Combinaison acoustique/sonde locale

Plasmons à variable

C---

## Acoustique/sonde locale : électrodéposition



Couche rigide  $\Rightarrow \Delta f_n/n \propto \Delta m_{layer}$  (dissipation faible) Couche visqueuse  $\Rightarrow \Delta f_n/\sqrt{n} \propto \{\Delta m_{liquid}, \Delta m_{layer}\}$  (dissipation élevée) (n: numéro du mode)

#### J.-M Friedt

biocapte

Le capte

Mesure et instrumentat

Microfluidiau

Combinaiso

h.4...

Combinaison acoustique/sonde

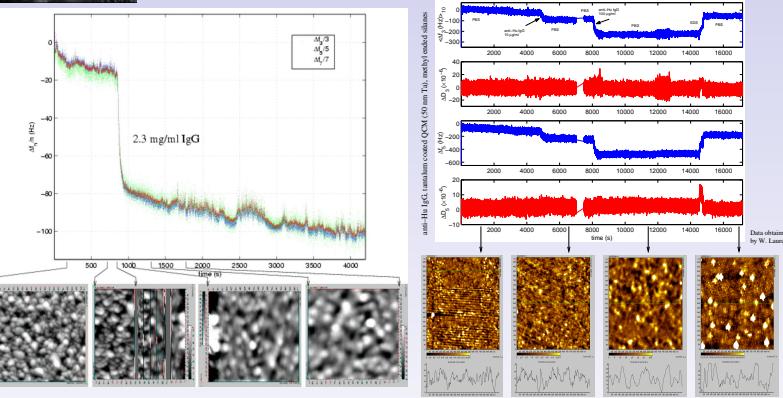
locale

variable

Conclusi



### Acoustique/sonde locale : biologie



lgG sur thiols hydrophobes IgG sur silanes/ $Ta_2O_5$  La topographie n'est pas une information intéressante dans la plupart des cas

C. Zhou, J.-M. Friedt, A. Angelova, K.-H. Choi, W. Laureyn, F. Frederix, L. A. Francis, A. Campitelli, Y. Engelborghs, G. Borghs,

Human Immunoglobulin Adsorption Investigated by Means of Quartz Crystal Microbalance Dissipation, Atomic Force Microscopy, Surface

Acoustic Wave, and Surface Plasmon Resonance Techniques. Langmuir 20 (14), pp.5870-5878 (

J.-M Friedt

Définitio

Le captei

Mesure et

Microfluidia

....

acoustique

ivicsure

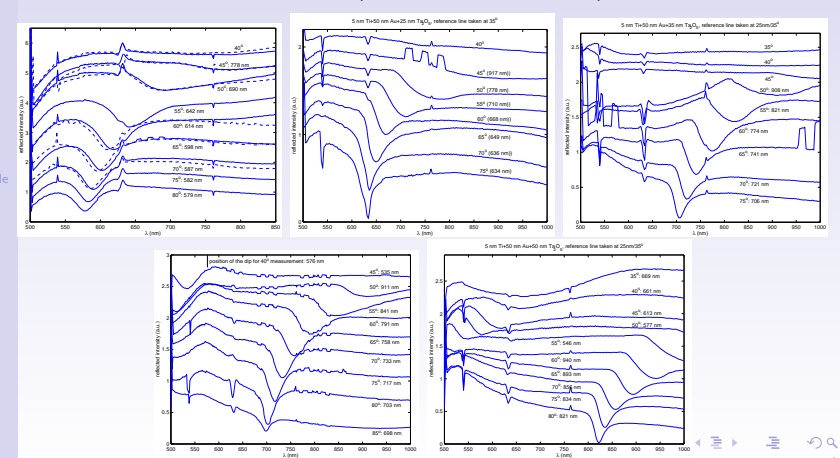
acoustique/sono

Plasmons à  $\lambda$  variable

Conclusion



#### Source lumineuse incohérente (spectromètre UV-Vis)





J.-M Friedt

Définition d'ur

Le capte

Mesure et

instrumentati

Microfluidique

C----

. .

iviesure

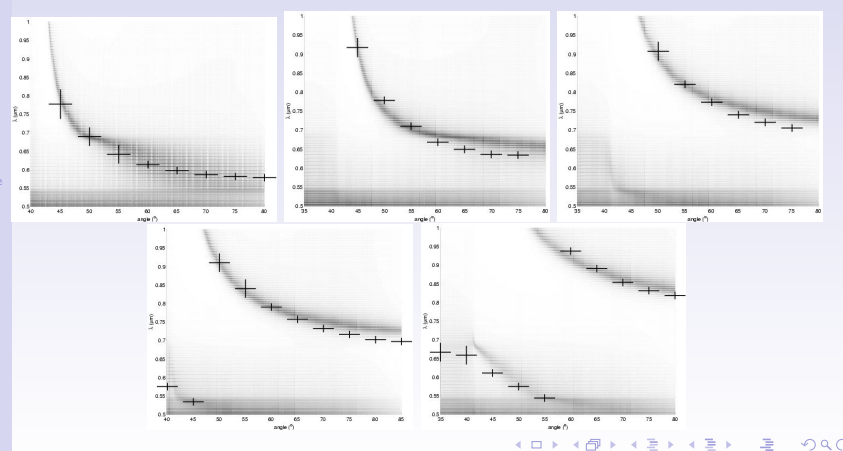
acoustique/sono

Plasmons à  $\lambda$  variable

Conclusion

# Plasmons de surface (interprétations)

Hypothèse : indice optique constant sur la plage visible (500-1000 nm)  $\Rightarrow$  la spectroscopie donne un unique couple (n, d) d'une couche



#### I\_M Friedt

biocapteur

Le capteur

instrumentatio

Microfluidiq

. .. .

optique

Mesure

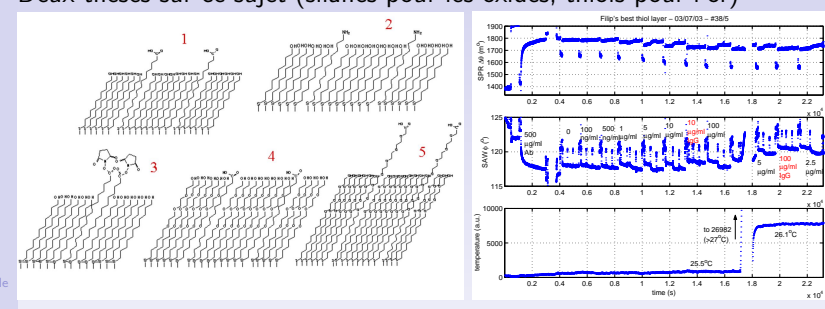
Combinaison acoustique/son

Plasmons à 2

Conclusions



Deux thèses sur ce sujet (silanes pour les oxides, thiols pour l'or)



- La chimie de surface détermine la capacité du biocapteur à retenir les anticorps (liaison covalente?) et à repousser les espèces indésirables.
- Le capteur universel n'existe pas

Filip Frederix, The Use of Self-Assembly for the Realisation of Immunosensor Interfaces and Detection Systems, doctorat de KU Leuven (2004)

Wim Laureyn, Physico-chemical study on the use of silanes for the realisation of oxide-based biosensor interfaces, doctorat de KU.Leuven



Définition d'a

Lo capteur

Mesure et instrumentat

Microfluidia

acoustic

Mesur

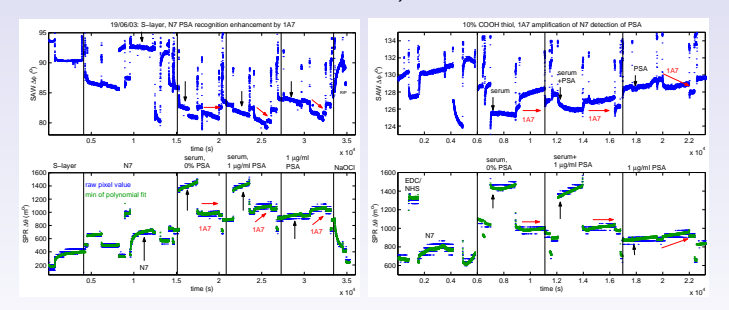
Combinaison acoustique/sono locale

Plasmons à 2

Conclusions

### De l'intérêt des biocapteurs?

- ELISA détecte PSA dans la plage 0-50 ng/ml, kits jetables
  - Utilité de diagnostiquer en temps réel?
  - Surtout applicable dans l'observation de l'environnement et de la nourriture (développement d'anticorps détectant les petites molécules – insecticides, dioxine ...)



L. Huang, G. Reekmans, D. Saerens, J.-M Friedt, F. Frederix, L. Francis, S. Muyldermans, A. Campitelli, and C. Van Hoof,

Prostate-specific antigen immunosensing based on mixed self-assembled monolayers, camel antibodies and colloidal gold enhanced



#### Perspective

J.-M Friedt

biocapte

Mesure et

Microfluidiqu

.

acoustiqu

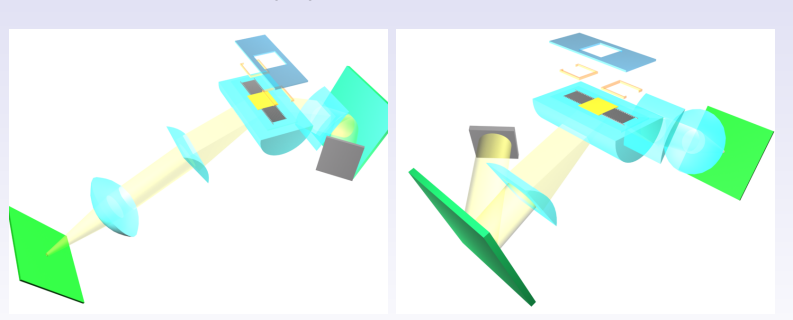
Mesure

Combinaison acoustique/sono locale

Plasmons à  $\lambda$  variable

Conclusions

- Utiliser un laser blanc+réseau de diffraction pour multiplexer les longueurs d'onde (FEMTO/LOPMD)
- Ajouter une microscopie à sonde locale *utile* : SECM, Kelvin ...
   ⇒ encombrement implique shear-force



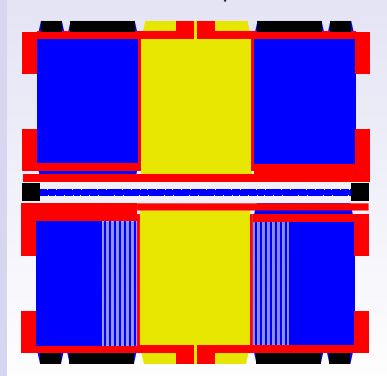


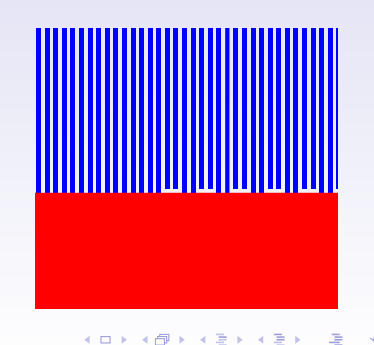
I\_M Friedt

Conclusions

### Nouveau dispositif (FEMTO-ST/LPMO)

- dual delay line avec 4 doigts/période acoustique
- zone sensible couverte ou non d'or (thiols, électrodépoisition, SPR)
- fluidique en SU8 avec injection par capillaire  $\emptyset = 100 \ \mu \text{m}$
- couche de 1-4  $\mu$ m  $SiO_2$ , ouverture des bonding pads





J.-M Friedt

## Le groupe biocapteurs (IMEC, 2000-2003)

Le capteur

instrumentati

Microfluidiqu

. .

iviesure

acoustique/sono

Plasmons à  $\lambda$  variable

Conclusions



Tous les articles/références ainsi que cette présentation sont disponibles à http://jmfriedt.free.fr/